

# دراسة عددية لانتقال الحرارة بالحمل الحراري في فجوات ذات نهايات مفتوحة بمتوسط مسامي معين

م. علي لفته كعید  
الجامعة التكنولوجیة  
هندسة المکانن والمعدات

## المستخلص

تم في البحث دراسة الحمل الحراري المساق بقوة الطفو داخل فجوة مفتوحة النهايات مع وسط مسامي. كذلك تم دراسة تأثير زيادة عدد رايلي على مجال الجريان ودرجة الحرارة وتاثير الحدود الخارجية على توليد الدوامات وعدم الاستقرار في الجريان. كذلك تم مناقشة التصرف الدوري لأعداد نسلت مع الزمن. تأثير المتغيرات المهمة مثل النسبة البايعية، درجات الحرارة، عدد رايلي على مجال الجريان وعدد نسلت داخل الفجوة تمت دراستها أيضاً.

اظهرت النتائج العددية تأثير الحافات الخارجية للفجوات على مجال الجريان وعملية انتقال الحرارة من خلال توليد الدوامات وعدم استقرار الجريان بالقرب منها، بينما اظهرت نتائج الحالة الانتقالية عدم الاستقرار الحراري خلال الجريان داخل الفجوة وتحرك الدوامات لحين الوصول الى الحافة العليا من مجال الدراسة، عدم الاستقرار اكده النتائج عند عدد رايلي ( $Ra \geq 250$ ) من خلال تولد الدوامات والتي لها تأثير مباشر على انتقال الحرارة داخل الفجوات. كذلك اظهرت النتائج انه بتقليل النسبة البايعية (A) يزداد الاستقرار في مجال الجريان، بينما تؤدي زيادة درجة حرارة السطح العلوي للفجوة ( $\theta_2$ ) الى زيادة انتقال الحرارة داخل الفجوة خاصة في الجزء العلوي منها.

## الحمل الحر داخل الفجوات ذات النهايات المفتوحة التي تحوي مائع اعبيادي [٧-٥]. أما التي تحوي على وسط مسامي معين (Porous obstructing medium)

ولقد ركزت الدراسة الحالية على الحالة الثانية والتي هي أكثر تعقيداً. إن أهمية التدفق وانتقال الحرارة في الفجوات ذات النهايات المفتوحة يعود إلى الشكل الهندسي المعقد وكيفية التعامل مع الظروف المحيطة حيث تم الأخذ بنظر الاعتبار في هذه الدراسة ظروف الحدود المفتوحة في الحل العددي.

تم في هذا البحث دراسة التدفق بتاثير قوة الطفو وانتقال الحرارة في الفجوة ذي النهايات المفتوحة حيث تم تمثيل المشكلة ببعدين من حيث التأثيرات المتنوعة المهمة مثل نسبة الشكل (النسبة البايعية)، المستويات المختلفة لدرجات الحرارة للسطح وعدد رايلي ودارسي (Darcy-Rayleigh Number)، حيث تم التعبير عن النتائج بخطوط كنورية لدالة الانسياب ولدرجات الحرارة.

## ٢- التحليل النظري (Theoretical Analysis)

## ١- المقدمة Introduction

ان انتقال الحرارة بالحمل الطبيعي ذو أهمية واسعة في العديد من الأنظمة الهندسية، ولقد تم دراسة التدفق أو الجريان داخل التجاويف ذات النهايات المفتوحة بسبب انتشار تطبيقاتها الهندسية [٤-١]. لقد تم وضع العديد من الدراسات التحليلية والعددية والعملية والتي تناولت دراسة الفجوات ذات الحدود المستطيلة، والتي أخذت بنظر الاعتبار أهمية تأثير عدد من العوامل مثل عددي دارسي ورايلي (Darcy-Rayleigh Number)، كذلك تأثير نسبة شكل الفجوة، لكن الدراسات التي تناولت الحث الحراري وحركته داخل الفجوات ذات النهايات المفتوحة هي دراسات قليلة.

ان التطبيقات الهندسية للفجوات ذات النهايات المفتوحة هي كثيرة ومهمة جداً ومنها انتشار النار في الغرف، أنظمة الاستقبال المركزية للطاقة الشمسية، أنابيب الربط بين الخزانات، وأخيراً مخازن الفضلات النووية. أكثر البحوث السابقة اهتمت بحركة

$$\sigma \frac{\partial T}{\partial t} + u \frac{\partial T}{\partial x} + v \frac{\partial T}{\partial y} = \alpha_e \left( \frac{\partial^2 T}{\partial x^2} + \frac{\partial^2 T}{\partial y^2} \right) \dots (2)$$

وبالاعتماد على العوامل الابعدية الآتية:-

$$X = \frac{x}{d} ; Y = \frac{y}{d}$$

$$u = \frac{\alpha_e}{d} \frac{\partial \psi}{\partial y} ; v = -\frac{\alpha_e}{d} \frac{\partial \psi}{\partial X}$$

$$\theta = \frac{T - T_\infty}{T_1 - T_\infty} ; \tau = \frac{\alpha_e}{\sigma d^2} t$$

$$Ra = \frac{\kappa g \beta h \Delta T}{\alpha_e v} ; \Delta T = T_1 - T_\infty$$

يمكن تحويل معادلتي الجريان والطاقة بالصيغ التالية:-

$$\frac{\partial^2 \psi}{\partial X^2} + \frac{\partial^2 \psi}{\partial Y^2} = -Ra \frac{\partial \theta}{\partial X} \dots (3)$$

$$\frac{\partial \theta}{\partial \tau} + \frac{\partial \psi}{\partial Y} \frac{\partial \theta}{\partial X} - \frac{\partial \psi}{\partial X} \frac{\partial \theta}{\partial Y} = \frac{\partial^2 \theta}{\partial X^2} + \frac{\partial^2 \theta}{\partial Y^2} \dots (4)$$

ثم تمثيل المسألة بالظروف الحرية الموضحة بالشكل (٢) وكما يلي [11]:-

$$\psi = 0 : \theta = 1 \quad \text{at} \quad Y = -\frac{A}{2}$$

$$\text{For } -\frac{1}{2} \leq X \leq \frac{1}{2}$$

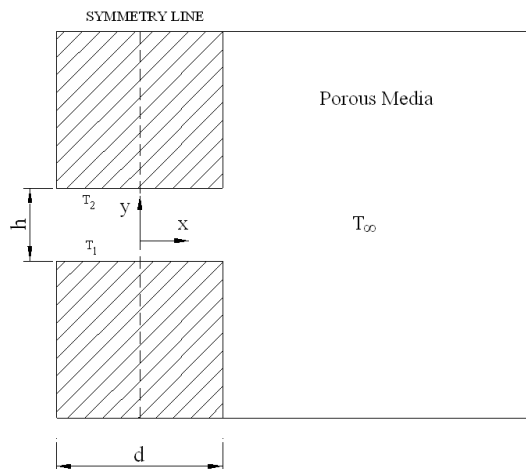
$$\psi = 0 : \theta = \theta_2 \quad \text{at} \quad Y = \frac{A}{2}$$

$$\text{For } -\frac{1}{2} \leq X \leq \frac{1}{2}$$

$$\psi = 0 : \frac{\partial \theta}{\partial X} = 0 \quad \text{at} \quad X = \mp \frac{1}{2}$$

$$\text{as } Y \rightarrow \mp \infty$$

شملت الدراسة الحالية التعامل مع حالة الحمل الطبيعي داخل تجويف ذي نهايات مفتوحة معمور في وسط مسامي مشبع كما موضح في الشكل (١) حيث كان من الضروري وضع بعض الفرضيات من أجل الحصول على الصيغ النهائية للمعادلات الحاكمة (Governing equation) وبالتالي التوصل إلى نتائج الحل العددي، حيث تم خضوع المسألة لنموذج دارسي (Darcy Model) للجريان مع اهمال تأثير قوى القصور الذاتي (Inertial Forces) على طبيعة الجريان. كذلك تم خضوع كثافة مائع التشبع لنقريب بوسنیسک (Boussinesq approximation) مع اعتبار هذا الماء لا انضغاطي الا فيما يخص تدرج الكثافة التي سينتج عنها جريان الماء بقوة الطفو. كذلك تم فرض ان انتشار درجات الحرارة ودالة الانسياب ببعدين (Two-Dimensional)، وان الوسط المسامي المشبع متجانس (Homogeneous) وذات صفات ثابتة وموحدة وكل الاتجاهات (Isotropic). كذلك تم اهمال تأثير الاشعاع واعتبار الماء المشبع المستخدم بطور واحد . [١٠-٨] (Single phase)



شكل (١) مخطط للفجوة المفتوحة النهايات مع عائق من مادة مسامية

ان المعادلات الحاكمة التي تصف المشكلة الفيزيائية من حيث درجة الحرارة ومركبتي السرعة ودالة الانسياب واعتماداً على الفرضيات أعلاه والخاصة بالحصول على المعادلات الحاكمة لوصف حالة الحمل الطبيعي اللحظي (Transient Natural Convection) هي كما يلي [12,11]:-

$$\frac{\partial u}{\partial y} - \frac{\partial v}{\partial x} = -\frac{\kappa g \beta}{v} \frac{\partial T}{\partial x} \dots (1)$$

(معادلة (٣)) والتي تعتبر معادلة قطع ناقص (Elliptic equation) وتسمى معادلة بوسين (Poisson equation) باستخدام طريقة الارخاء (Relaxation Scheme) حيث كانت قيمة معامل الارخاء تساوي واحد. أما بالنسبة لحل معادلة الطاقة (معادلة (٤)) بصيغتها الغير مستقرة يضاف حد الزمن (Time Term) والذي يمثل معياراً للاستقرار. إذ يجري التعامل مع معادلة الطاقة بصيغتها غير المستقرة على أنها معادلة قطع مكافئ (Parabolic Equation) وهذا مما يجعل امكانية استخدام الطريقة الواضحة أو الصريحة (Explicit scheme) سهلاً للغاية حيث يتم حساب قيمة درجة الحرارة اللابعدية لأي عقدة عند الزمن ( $\tau + \Delta\tau$ ) اعتماداً على قيمة درجة الحرارة اللابعدية للعقدة ذاتها والعقد المجاورة عند الزمن ( $\tau$ ). إذ يدخل الزمن عاماً مؤثراً ويعتبر بعداً ثالثاً ويتم الانتقال بين الخطوتين اللاحقتين وفقاً لتغير قيمته [14].

يستمر تكرار عملية الانتقال بين قيم درجات الحرارة خطوة بخطوة حسب قيمة عامل الارتحال (Marching factor) حتى يتم الحصول على شرط التقارب (Convergence) لهذا التكرار وذلك عندما يصبح الفرق بين القيمتين ( $\theta_2 - \theta_1$ ) و ( $\theta_1 - \theta_0$ ) مقداراً صغيراً تم تحديده في البرنامج بقيمة  $10^{-6}$ .

#### ٤- النتائج والمناقشة Results and Discussion

كما تم ذكره سابقاً تم تمثيل النتائج بخطوط كنторية لدالة الانسياب ودرجات الحرارة ولأعداد رايلى ( $Ra=20,50,100,200,250,350$ ) ولنسبة باعية ( $A = \frac{1}{2}$ ) حيث تمثل (A) نسبة ارتفاع الفجوة إلى العرض حيث عندأخذ القيمة ( $A = \frac{1}{2}$ ) يكون

لدينا فجوة مربعة الشكل. درجة حرارة السطح السفلي للجفوة ( $\theta_1 = 1$ ) وكذلك الحال للسطح العلوي حيث تم أخذ قيمته ( $\theta_2 = 1$ ).

نلاحظ من الشكل (٣) تأثير زيادة عدد رايلى على توزيع دالة الانسياب ودرجات الحرارة داخل الفجوة بالظروف المبينة في أعلاه.

حيث عند قيم رايلى القليلة ( $R=20$ ) كما هو موضح في الشكل (3-a) نلاحظ ان ميكانيكية انتقال الحرارة داخل الفجوة هو التوصيل، مع هذا فان طور الحمل يكون كافياً لعمل تشوه في خطوط الانسياب ودرجات الحرارة داخل الفجوة. مجال الجريان كما هو مبين يكون تقريباً متماثل حول الخط العرضي المار في وسط الفجوة حيث ان المائع الساخن يخرج من الفجوة

$$V = 0 : \frac{\partial \theta}{\partial X} = 0 \quad \text{as} \quad X \rightarrow \mp\infty$$

For all  $Y$ .

$$\frac{\partial U}{\partial Y} = 0 : \frac{\partial \theta}{\partial Y} = 0 \quad \text{as} \quad Y \rightarrow \mp\infty$$

For all  $X$ .

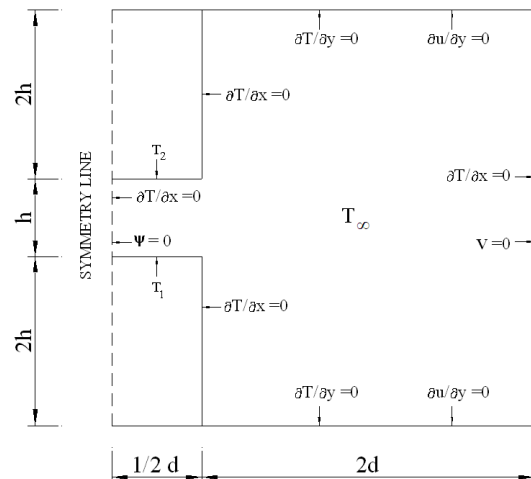
أما القيم الابتدائية فهي :-

$$\psi = \theta = 0.0$$

تم حساب قيمة عدد نسلت الموضعية للسطح العلوي والسفلي للتجويف باستخدام المعادلة التالية [٦] :-

$$Nu = - \int_0^1 \frac{\partial \theta}{\partial Y} \Big|_{Y=-A/2} dX + \frac{1}{\theta_2} \int_0^1 \frac{\partial \theta}{\partial Y} \Big|_{Y=A/2} dX \dots (5)$$

وبعد ذلك تم حساب معدل نسلت باستخدام سلسلة سمبسون.



شكل (٢) مخطط الشكل الهندسي للجفوة مع الشروط الحدية المستخدمة في الدراسة

#### ٣- الحل العددي Numerical Solution

سيتم من خلال هذه الفقرة وصف مبسط لطرق الحل العددي المستخدمة عند حل معادلة الزخم والطاقة اللابعدين. حيث استخدمت طريقة الفروق المحددة (Finite differences) المعتمدة على متسلسلة تايلر (Taylor series) في تحويل المعادلات من صيغتها التفاضلية المعقدة إلى معادلات خطية بسيطة، بعد ذلك تم حل معادلة الزخم

بزيادة درجة حرارة السطح العلوي (2) فإن التأثيرات العامة والتي سبق شرحها تبقى سارية المفعول في هذه الحالة ما عدا كون أن الطبقة المتاخمة الحرارية تكون أسمك قرب الجدار العلوي.

أما الشكل (٥) فيمثل دراسة تأثير تغيير النسبة الباعية (A) على مجال الجريان ودرجة الحرارة. حيث تمأخذ القيم (1)  $A = \frac{1}{4}, \frac{1}{2}$  بثبوت درجة حرارة السطحين العلوي والسفلي عند القيم (1)  $\theta_1 = \theta_2$  ولعدد رايلي (Ra=100) نلاحظ ان بزيادة النسبة الباعية فان المانع البارد سيخترق أكثر داخل الفجوة المفتوحة مما يؤدي إلى عدم استقرارية الجريان داخل الفجوة.

الشكلين (٦) و(٧) يمثلان تطور الجريان خلال الزمن داخل الفجوة المفتوحة حيث نلاحظ تأثير الحافات الخارجية على توليد الدوامات، حيث بتقدم الزمن فان الدوامات المركزية المتولدة داخل الفجوة تتقدم نحو الأعلى حيث نلاحظ من خطوط درجات الحرارة عدم الاستقرار الموجود داخل الفجوة. حيث بسبب تأثير قوت الطفو والمص الأفقية تتولد دوامت صغيرة تتقدم خلال الزمن من الأسفل إلى الأعلى خلال خط التماشى داخل الفجوة ولحين الوصول إلى حالة الاستقرار حيث تختفي هذه الدوامات.

الشكل (٨) يمثل التغير الزمني لمتوسط نسلت والأعداد مختلفة من (Ra)، حيث نلاحظ ان الانحدار الموجود عند السطح العلوي والسفلي للفجوة يكون مسؤولاً عن القيم المتغيرة لانتقال الحرارة خاصة لقيم رايلي ( $250 > Ra$ ). حيث نلاحظ ان أعداد نسلت تتزداد خلال الزمن مع اضمحلال قيمها، وبسبب تردد هذه القيم هو عدم الاستقرار الموجود في انتقال الحرارة والمتكون في المراحل المتقدمة من الجريان حيث بزيادة الزمن فان قيم أعداد نسلت تصل إلى قيمها المستقرة. بزيادة عدد رايلي فان الزمن اللازم لعملية تسخين جزيئات المانع على طول السطح الأسفل للفجوة يقل، ويتنقلي قيمة (Ra) فأن تردد أو تغير رقم (Nu) سوف يقل.

الشكل (٩) يمثل تأثير زيادة درجة حرارة السطح العلوي للفجوة وزيادة النسبة الباعية على انتقال الحرارة (على عدد نسلت) حيث نلاحظ من الشكل (9a) انه بزيادة درجة الحرارة ( $\theta$ ) فان ذلك يؤدي إلى زيادة عملية انتقال الحرارة. وكذلك يؤدي إلى التقليل من التردد الحاصل في درجات الحرارة وبالتالي التقليل في عدم الاستقرار في مجال الجريان. كذلك من خلال الشكل (9b) نجد بأن التقليل في النسبة

نتيجة لقوة الطفو ويكون أسرع من المانع الموجود داخل الفجوة، ويتم بعد ذلك سحب مائع بارد من خلال السطح الأسفل للفجوة حيث تكون هذه العملية هي المسؤولة عن استقامة خطوط جريان المانع على السطح السفلي. وبالإضافة إلى هذا فان المانع الذي يتم سحبه إلى داخل الفجوة ترتفع درجة حرارته بسبب سخونة الجدار السفلي للفجوة لذلك فان هناك قوتان تؤثران على جرى المانع خلال الوقت وهي قوة الطفو وقوة السحب أو المص الأفقية.

بزيادة عدد رايلي (Ra= 20-100) فان المانع البارد يخترق أكثر داخل الفجوة وتكون خطوط دالة الانسياب ودرجات الحرارة أقرب من بعضها البعض. وبسبب تدرج درجات الحرارة فان انتقال الحرارة من السطح السفلي يزداد كذلك فان انتقال الحرارة من السطح العلوي (والذى يكون بالتوسيع) يزداد. لكن المانع الداخل إلى الفجوة أسرع من الخارج منها لذلك فان المانع لا يبقى متماثلاً بزيادة عدد رايلي.

بزيادة عدد رايلي من (100) إلى (Ra=350) فان المانع الداخل (المانع البارد) سيخترق الفجوة أكثر وتكون خطوط الانسياب ودرجات الحرارة أقرب والمانع الداخل إلى داخل الفجوة يكون أسرع لذلك فان الطبقة المتاخمة الحرارية تصبح أرق وأقرب إلى الجدار، كذلك فان خطوط درجات الحرارة على السطح العلوي تصبح أكثر وأقرب مما يؤدي إلى طبقة متاخمة أرق على طول الجدار العمودي العلوي. الشكل (٤) يمثل تأثير زيادة درجة حرارة سطح الفجوة العلوي ( $\theta_2$ ) على خواص انتقال الحرارة داخل الفجوة المفتوحة.

تم الاستعانة بالشكل (3-c) لتمثيل الحالة عند

(1) ( $\theta_2 = 1$ ) بالإضافة إلى الحالتين ( $\theta_2 = \frac{1}{2}$ ) حيث نلاحظ من خلال المقارنة بين الحالة ( $\theta_2 = 1$ ) والحالة ( $\theta_2 = \frac{1}{2}$ ) نلاحظ انه بزيادة درجة حرارة

المانع الداخل إلى الفجوة في حالة ( $\theta_2 = \frac{1}{2}$ ) بحيث تصل إلى مستوى أعلى من درجة حرارة السطح العلوي (بتاثير درجة حرارة السطح السفلي) فان انتقال الحرارة سيكون عكسي أي يتم من المانع إلى الجدار. لكن في حالة ( $\theta_2 = 1$ ) فان انتقال الحرارة يتم من الجدار إلى المانع بسبب كون درجة حرارة جزيئات المانع في أي مكان هي أقل من درجة حرارة السطح العلوي للفجوة.

- ٤- عدم الاستقرار في الجريان يظهر عند عدد رايلي  $(Ra \geq 250)$  من خلال تكون الدوامات والتي تكون غير ثابتة خلاله.
- ٥- تقليل النسبة الباعية يؤدي إلى تقليل عدم الاستقرار في الجريان بينما زيادة درجة حرارة السطح العلوي تؤدي إلى تحسين انتقال الحرارة من السطحين العلوي والسفلي داخل الفجوة.
- الباعية يؤدي إلى تحسين انتقال الحرارة من خلال التقليل من عدم الاستقرار الموجود في مجال الجريان داخل الفجوة المفتوحة.
- الشكل (١٠) يوضح مقارنة نتائج البحث الحالي لقيم دالة الانسياب ودرجات الحرارة مع المصدر [15] حيث نلاحظ التقارب الموجود بين النتائج.

## *Numerical Study of Natural Convection in an Open- Ended Cavity Filled with Porous Media*

### Abstract

The buoyancy–driven convection in an open-ended cavity with an obstructing medium such as a porous material is analyzed in this work. The effect of increasing Rayleigh number on flow field and temperature also the importance of the external corners in vorticity generation and flow instability is discussed. The periodic behavior in the variation of the Nusselt Number with time is studied. The effects of important variables, such as the aspect Ratio, the temperature difference, and Rayleigh number on the flow field and the cavity Nusselt number are investigated.

The numerical results show the influence of external corners in an open-ended cavity as vorticity generation and flow instabilities near the corners. The transient results show the thermal instabilities in the flow field also the vorticity is fed into the upper plane of the domain, the unsteadiness appears for ( $Ra \geq 250$ ) as vorticity generation which has direct influence on heat transfer in the cavity. The result shows that decreasing the aspect ratio (A) stabilize the flow field while increasing the temperature of the upper surface ( $\theta_2$ ) enhance the heat transfer in the cavity spatially from the upper surface.

### Nomenclature

النسبة الباعية (h/d)	[ - ] (A)
الامتداد الأفقي للفجوة المفتوحة	[ m ] (d)
التعجل الأرضي	[ ms <sup>-2</sup> ] (g)
الامتداد العمودي للفجوة المفتوحة	[ m ] (h)
عدد نسلت	[ - ] Nu
متوسط عدد نسلت	[ - ] $\bar{Nu}$

### Conclusion

- اظهرت النتائج ان مجال الجريان داخل الفجوة المفتوحة لا يعتمد على الشروط الحدية على اعتبار ان الجدران بعيدة نسبيا عن الفجوة.
- تأثير الحافات الخارجية للفجوة ظهر بتوليد الدوامات وعدم استقرار الجريان بالقرب من تلك الحافات.
- الحل الانتقالي اظهر ان عدم الاستقرار الحراري يظهر من السطح الاسفل للفجوة ويختفي بمرور الوقت بدخول الجريان داخل الفجوة.

- [5] Khanafer, K. K. Vafai, "Effective Boundary Conditions for Buoyancy – Driven Flows and Heat Transfer in Fully Open – Ended Two-Dimensional Enclosures". International Journal of Heat and Mass Transfer (45), pp. (2527-2538), (2002).
- [6] Khanafer, K. K. Vafai, Lightstone. M. "Mixed Convection Heat Transfer in Two-Dimensional Open-Ended Enclosures". International Journal of Heat and Mass Transfer (45), pp. (5171-5190), (2002).
- [7] L Chan Y. and L. Tien, C. "Laminar Natural Convection in Shallow Open Cavities", 21<sup>st</sup> ASME –AICHE National Heat Transfer Conference Natural Convection in Enclosures. Vol.(26), pp. (77-82), (1983).
- [8] Joseph, D. D., "Stability of Fluid Motions II". Springer – Verlag Berlin, (1976).
- [9] Ingham, D. B., and Pop, I., "Natural Convection about a Heated Horizontal Cylinder in a Porous Medium". Journal of fluid Mechanics, vol. (184), pp.(157-181), (1987).
- [10] Faronk, B., and Shayer, M., "Natural Convection around a Heated Cylinder in a Saturated Porous Medium". Transactions of the ASME, Journal of Heat Transfer, Vol. (110), pp.(642-648), August, (1988).
- [11] Vafai, K. Ettefagh, J. "The Effects of Sharp Corners on Buoyancy- Driven Flows with Particular Emphasis on Outer Boundaries", International Journal of Heat and Mass Transfer (33), pp. (2311-2328), (1990).
- [12] Vafai, K. Ettefagh, J. "Thermal and Fluid Flow Instabilities in Buoyancy- Driven Flows in Open- Ended Cavities", International Journal of Heat and Mass Transfer (33), pp. (2329-2344), (1990).
- [13] McDonough, J.M., "Lectures on Computational Numerical Analysis of Partial Differential Equations". Department of Mechanical Engineering and Mathematics, University of Kentucky, (2002).
- [14] Collella, P., and Puckett, E.G., "Modern Numerical Methods for Fluid Flow". Department of Mechanical Engineering, University of California, Berkeley, (1994).
- [15] Faronk, B., and Shayer, M., "Natural Convection in open –ended cavities with a porous obstructing medium". Transactions of the ASME, Journal of Heat Transfer, Vol. (31), pp.(673-693), August, (1988).

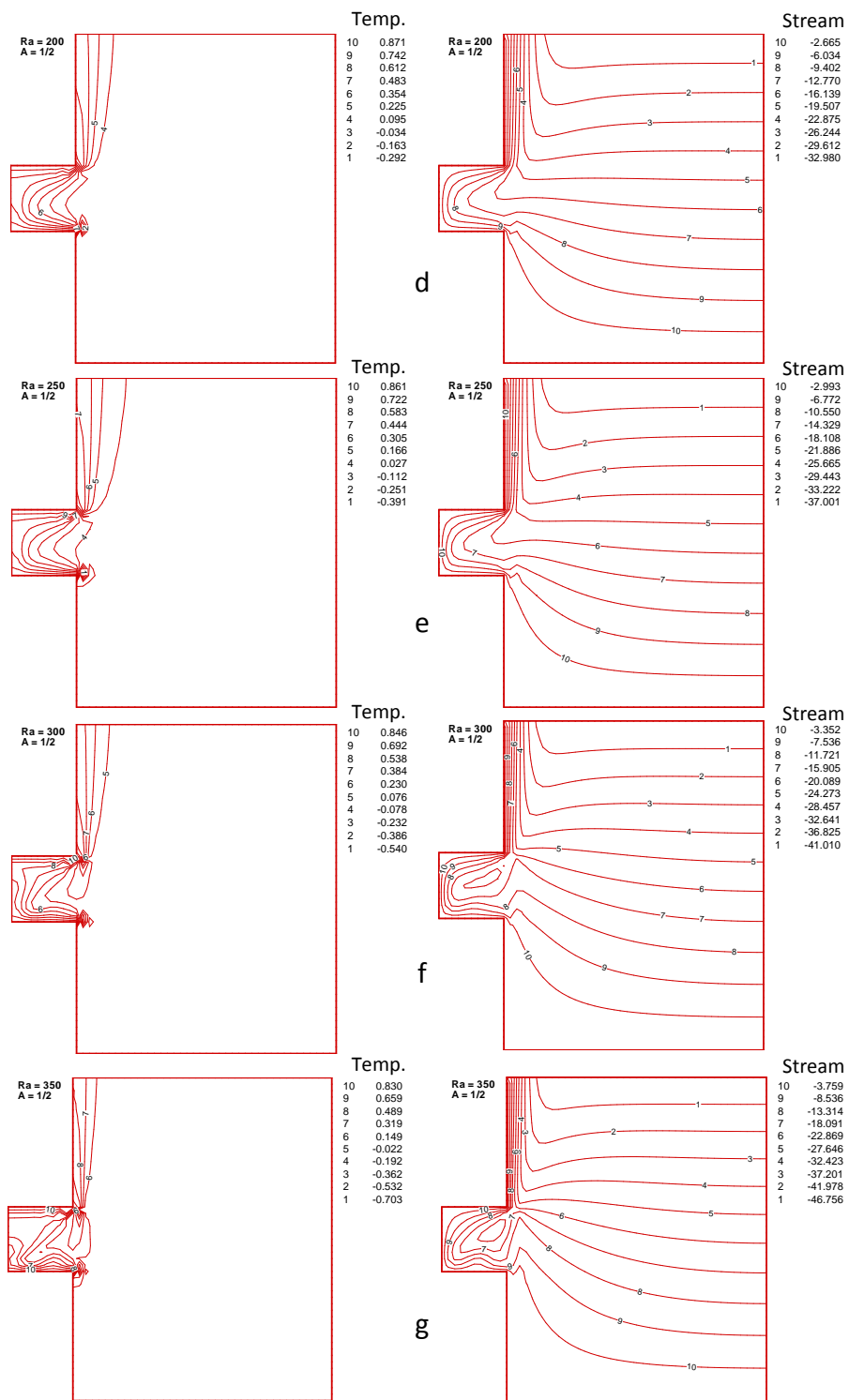
$(\kappa g \beta h \Delta T / \nu \alpha_e)$	عدد رالي (Ra)
الزمن (t)	[s]
درجة الحرارة (T)	[K]
درجة حرارة السطح السفلي (T <sub>1</sub> )	[K]
درجة حرارة السطح العلوي (T <sub>2</sub> )	[K]
درجة حرارة المحيط بعيداً عن الفجوة ( $T_{\infty}$ )	[K]
مركبة السرعة بالاتجاه (x) (ms <sup>-1</sup> )	u
مركبة السرعة بالاتجاه (y) (ms <sup>-1</sup> )	v
الاحداثي الأفقي (x)	[m]
الاحداثي الأفقي الابعد (x/d)	[X]
الاحداثي العمودي (y)	[m]
الاحداثي العمودي الابعد (y/d)	[Y]

**Greek Symbols الرموز الاغريقية**

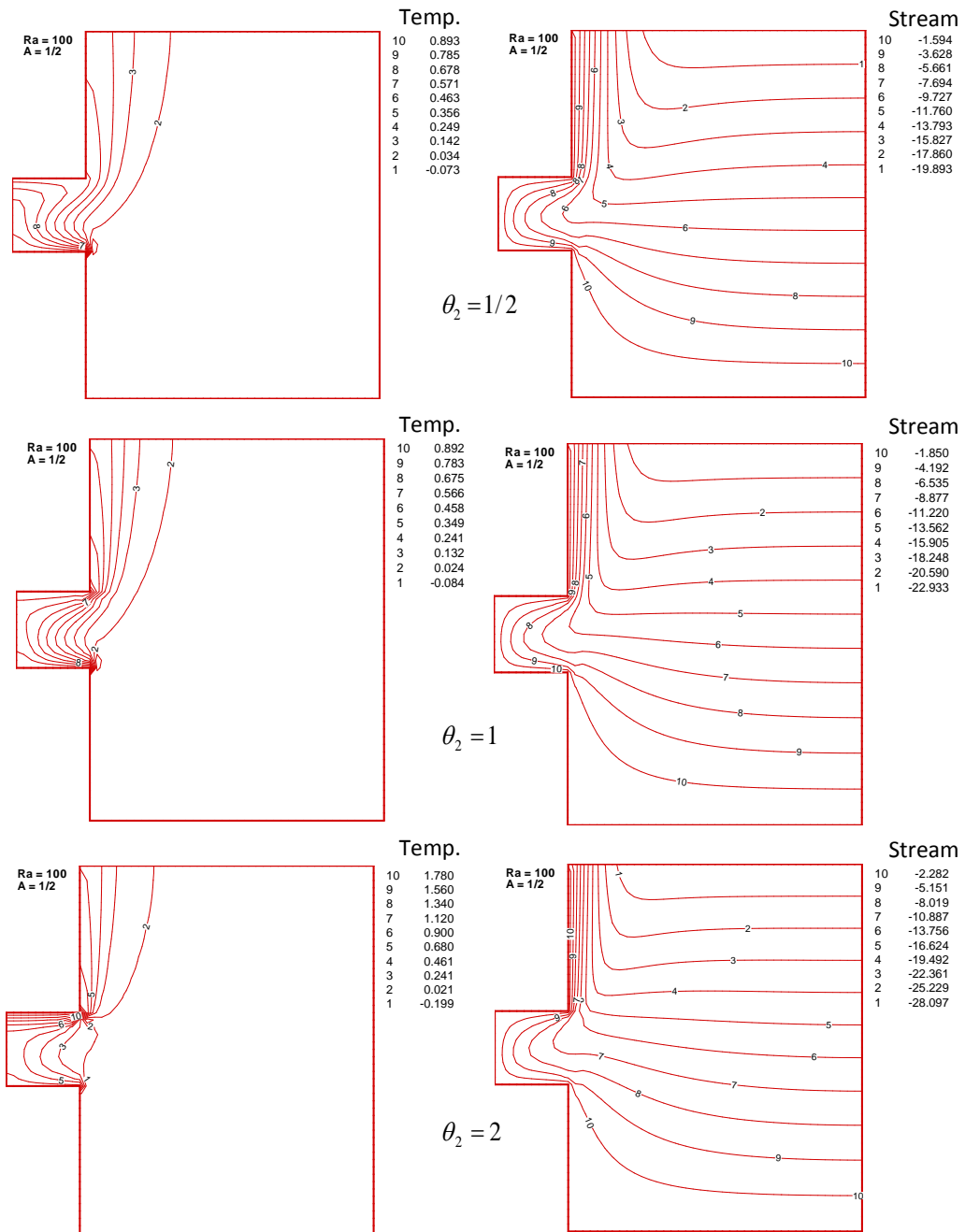
الانتشارية الحرارية الفعالة ( $\alpha_e$ )	[m <sup>2</sup> s <sup>-1</sup> ] $\alpha_e$
معامل التمدد الحجمي ( $\beta$ )	[K <sup>-1</sup> ] $\beta$
درجة الحرارة الابعد ( $\theta$ )	[-] $\theta$
(( $T - T_{\infty}$ ) / ( $T_1 - T_{\infty}$ ))	
نفاذية الوسط المسامي ( $\kappa$ )	[m <sup>2</sup> ] $\kappa$
اللزوجة الكينماتية ( $\nu$ )	[m <sup>2</sup> s <sup>-1</sup> ] $\nu$
السعنة الحرارية ( $\sigma$ )	[-] $\sigma$
الזמן الابعد ( $\tau$ )	[-] $\tau$
دالة الانسياب الابعدية ( $\psi$ )	[-] $\psi$

**References المصادر**

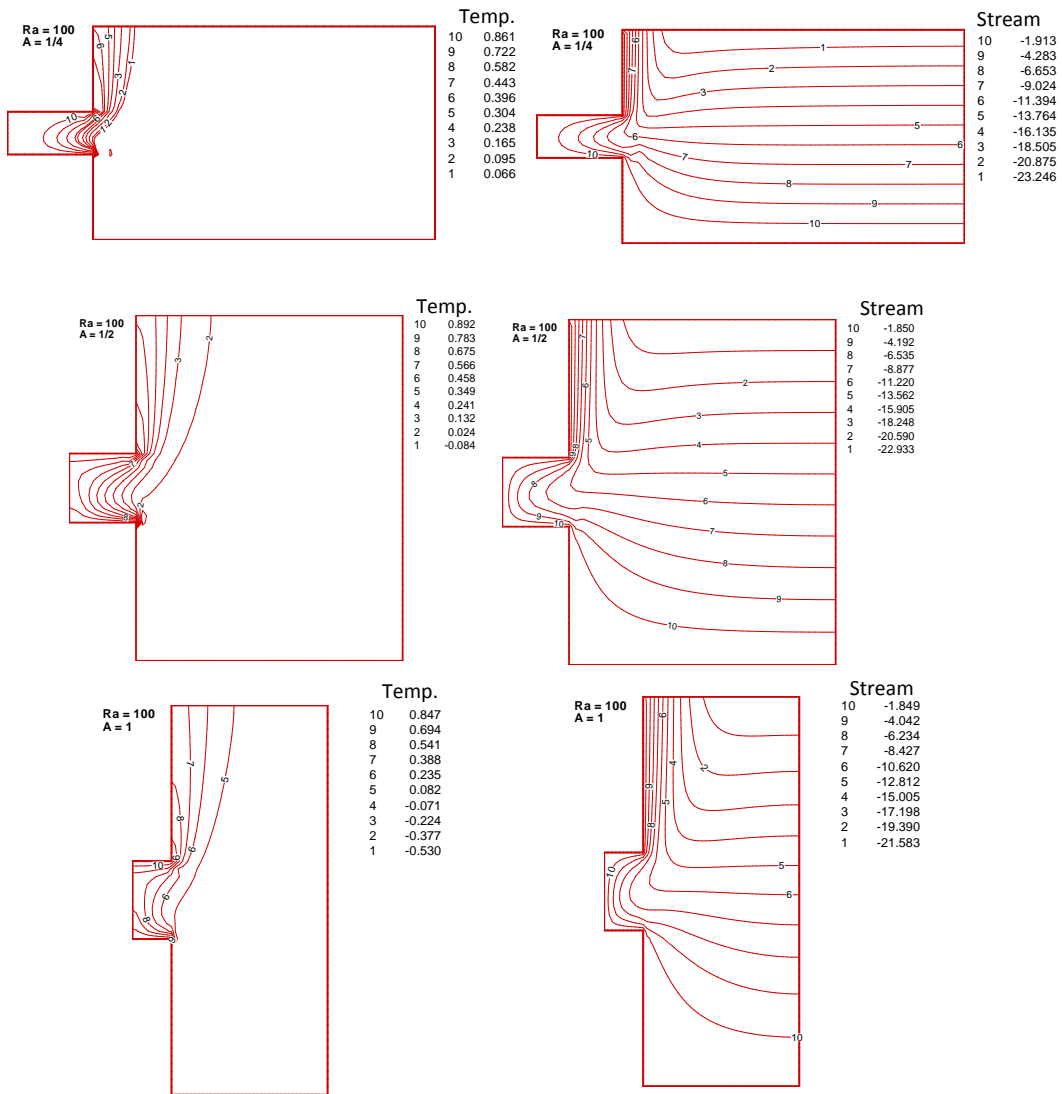
- [1] Qstrach, S. "Natural Convection in Enclosures", Advanced Heat Transfer (8), pp. (161-227), (1972)
- [2] Cheng, P. "Heat Transfer in Geothermal Systems". Advanced Heat Transfer (14), pp. (1-105), (1979).
- [3] Ostrach, S. "Natural Convection Heat Transfer in Cavities and Cells". Keynote paper at the Seventh International Heat Transfer Conference, Munich (1982).
- [4] Manca, O. S. Nardini, and K. Vafai, "Natural convection in an open cavity with heated walls" Experimental Heat Transfer, Vol. (19), No (1), pp. (53-68), January-March (2006),



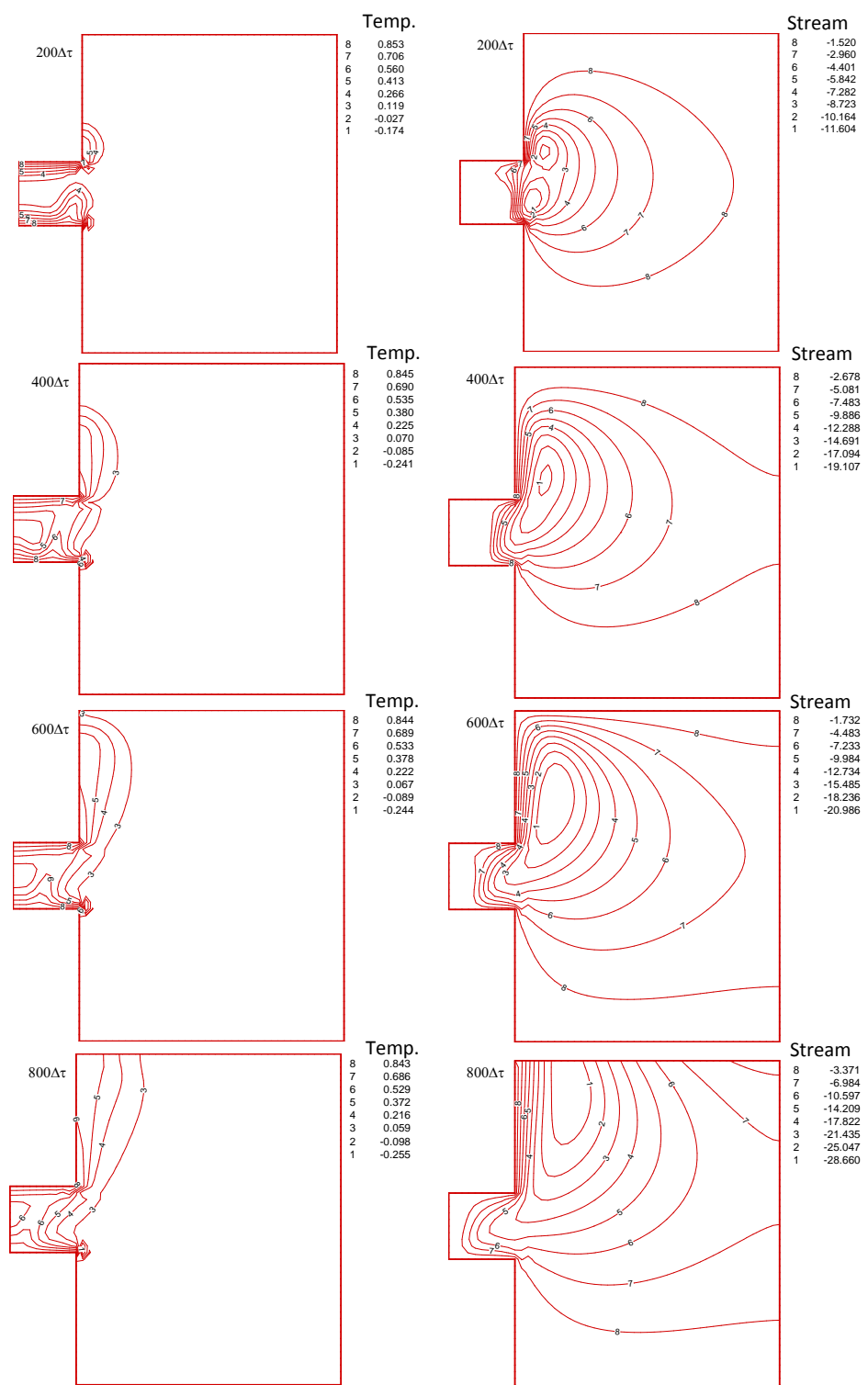
شكل (3- d,e,f,g) تأثير زيادة عدد رايلي على دالة الانسياب ودرجة الحرارة عند  $(A=1/2)$  و  $(\theta_2 = 1)$



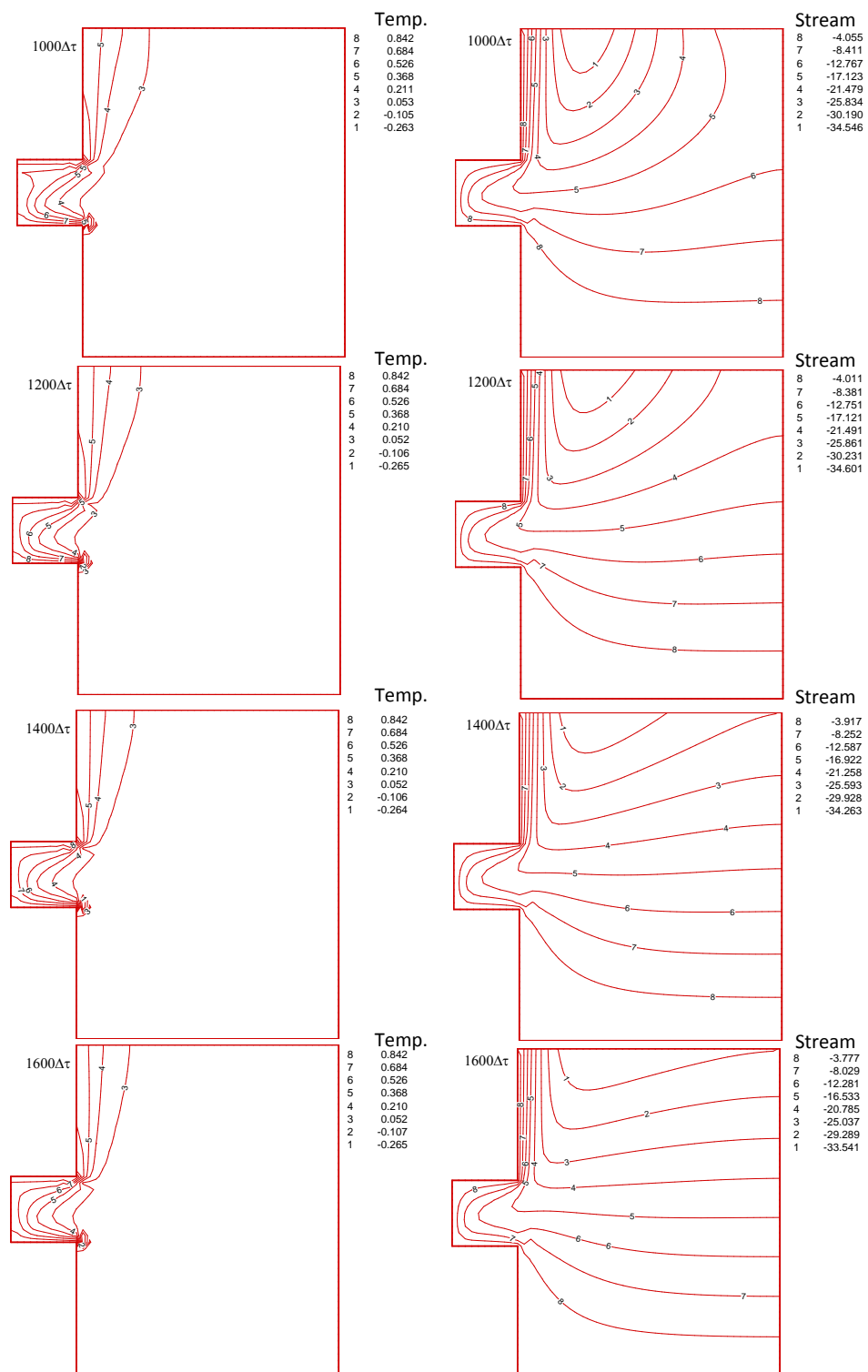
شكل (٤) تأثير زيادة درجة حرارة السطح العلوي ( $\theta_2$ ) على دالة الانسياب ودرجة الحرارة.

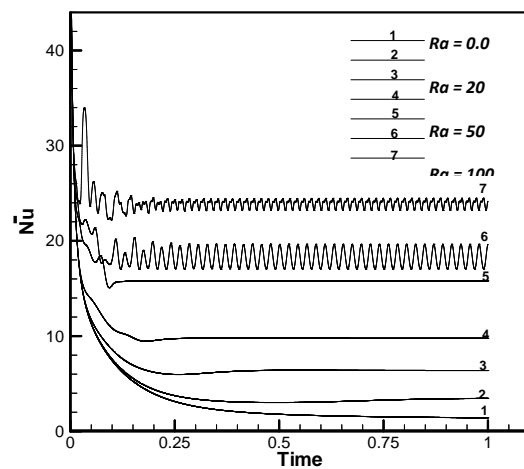


شكل (٥) تأثير زيادة النسبة الباعية (A) على دالة الانسياب ودرجة الحرارة عند ( $\theta_2 = 1$ ) .

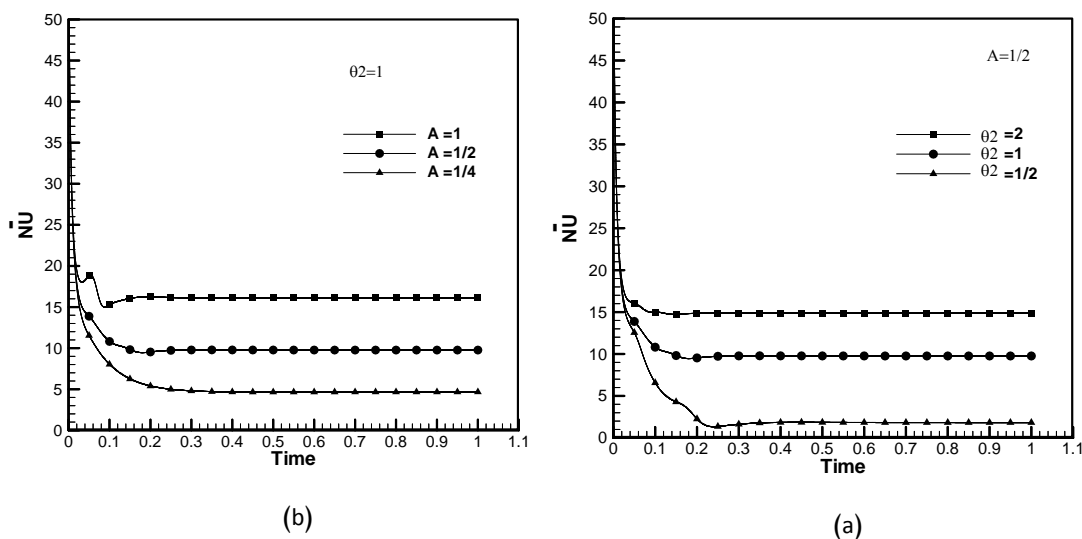
شكل (٦) دالة الانسياب ودرجات الحرارة عند ( $\theta_2 = 1$ )، ( $A=1/2$ ) و ( $Ra = 200$ ) عند ( $200\Delta\tau \leq \tau \leq 800\Delta\tau$ )

.

(٧) دالة الانسياب ودرجات الحرارة عند ( $\theta_2 = 1$ ،  $A=1/2$ ) و ( $Ra = 200$ ) عند ( $1000\Delta\tau \leq \tau \leq 1600\Delta\tau$ )

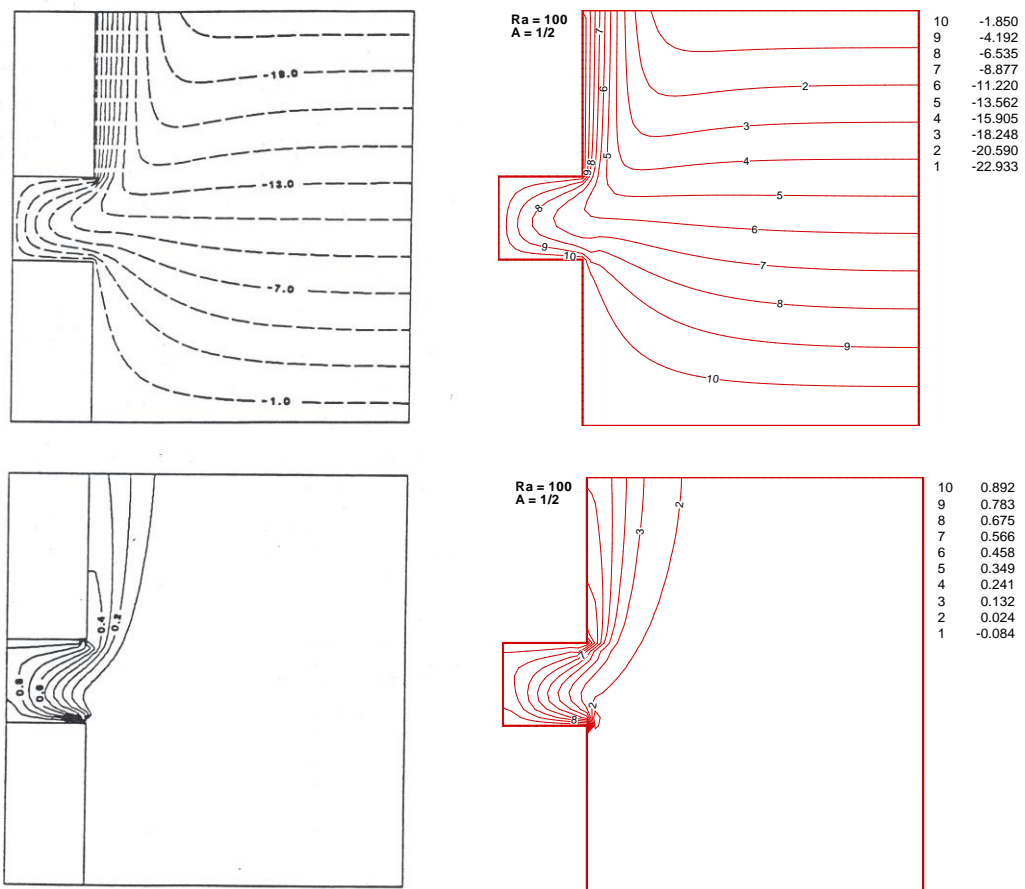


شكل (8) التغير الزمني لعدد نسلت عند ( $\theta_2 = 1$ )، ( $A = 1/2$ ) لاعداد رايلي مختلفة.



شكل (9) (a) التغير الزمني لعدد نسلت عند ( $\theta_2 = 1$ )، ( $Ra = 100$ ) لقيم ( $\theta_2$ ) مختلفة.

(b) التغير الزمني لعدد نسلت عند ( $\theta_2 = 1$ )، ( $Ra = 100$ ) لقيم ( $A$ ) مختلفة.



شكل (١٠) مقارنة نتائج البحث الحالي مع المصدر [15] لدالة الانسياب ودرجة الحرارة.